

プラズマガンを用いたELM様パルス プラズマのタンゲステン材への照射実験

菊池 祐介, 岩本 大希, 佐久間 一行, 北川 賢伸,
福本 直之, 永田 正義

兵庫県立大学 大学院 工学研究科 電気系工学専攻

発表概要

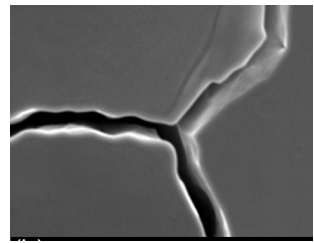
1. 研究の背景
2. 磁化プラズマガン(兵庫県立大学)
3. タングステンヘ(W)のパルスプラズマ照射実験
 - ・定常予照射Wサンプルへの照射
 - ・W-Ta合金材、Wコーティング材への照射
4. 今後の研究計画

ITERダイバータにおける高熱流プラズマ模擬実験

Type I ELMs
0.2-2 MJ/m², 0.1-1 ms

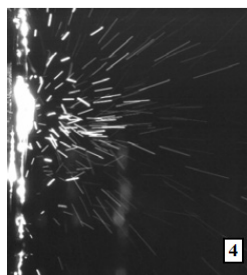
Transient heat loads

模擬装置: 電子ビーム, レーザ
プラズマガン



W表面におけるクラック

表面損傷:
溶融, クラック, ダスト
droplet splashing

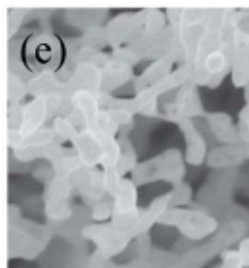


by QSPA Kh-50

高フラックス $\sim 10^{24} \text{ m}^{-2}\text{s}^{-1}$
高フルーエンス $\sim 10^{26} \text{ m}^{-2}$

Steady-state heat loads

模擬装置: 電子ビーム, イオンビーム,
直線型ダイバータプラズマ模擬装置



W fuzz

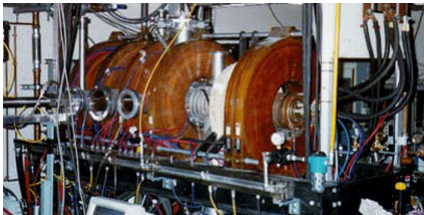
表面損傷:
溶融, ダスト
W表面構造
- Heバブル,
- Dブリスター,
- Fuzz

Ref.: S. Takamura, PFR 2006., M. Baldwin, NF2008.

プラズマガンと定常プラズマ源による複合照射研究

パルス熱負荷実験に関する共同研究

- ・定常予照射W 日米協力2009~
PISCES-A @ UCSD (Dr. D. Nishijima,
Dr. R. Doerner)



W-Fuzz

- ・Vapor shield現象の解明

LHD計画共同研究
(阪大、電通大、名大、愛工大、
金沢大、長岡技科大、核融合研)

- ・W合金材、W被覆材、W組織制御材
阪大との共同研究

- ・表面損傷を持つWの熱負荷応答
阪大、原子力機構との共同研究

プラズマガンのパルス熱負荷照射
によりWモノブロック材の表面損傷

電子ビーム装置(JEBIS@原子力機構)
を用いてITER定常熱負荷を照射

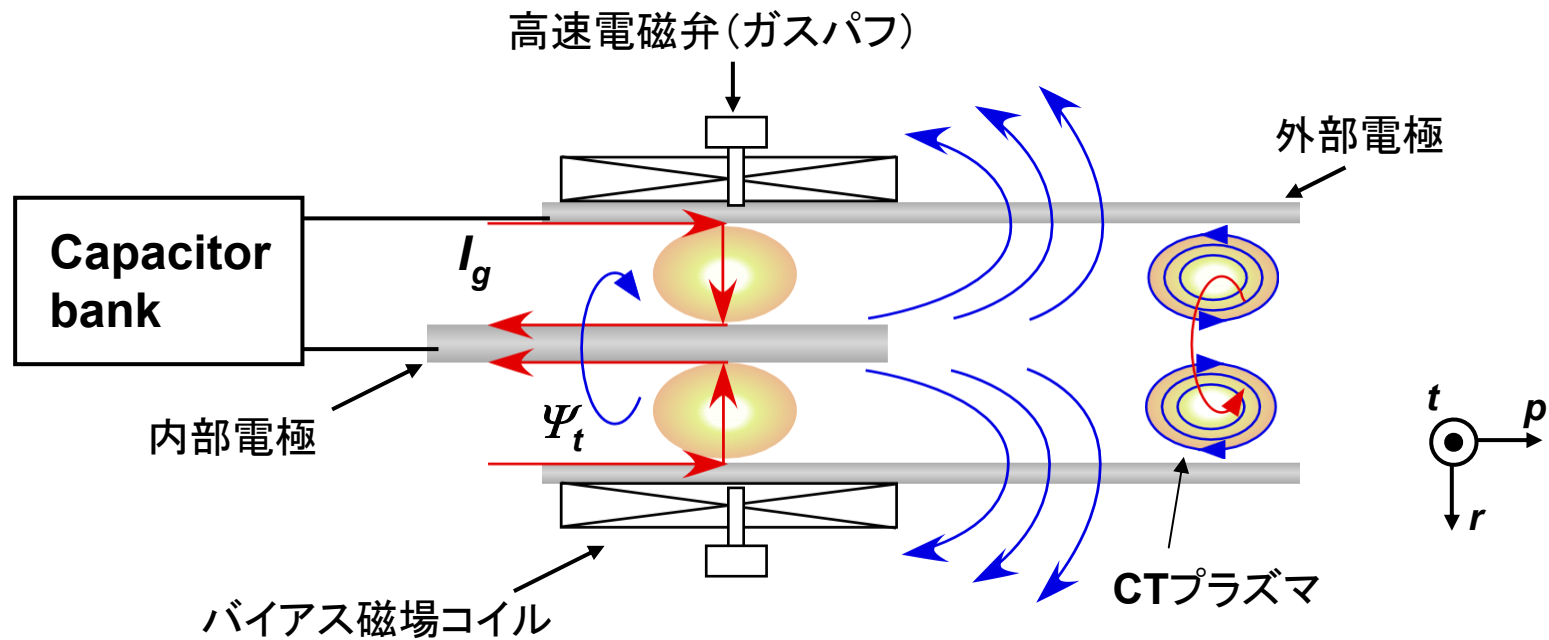
- ・定常-パルスプラズマ複合照射
名大との共同研究

ダイバータプラズマ模擬実験装置
NAGDIS-IIにプラズマガン装置を接続

- ・プラズマガン単体動作確認
・複合照射実験を2012年秋~

磁化同軸プラズマガン@兵庫県立大学

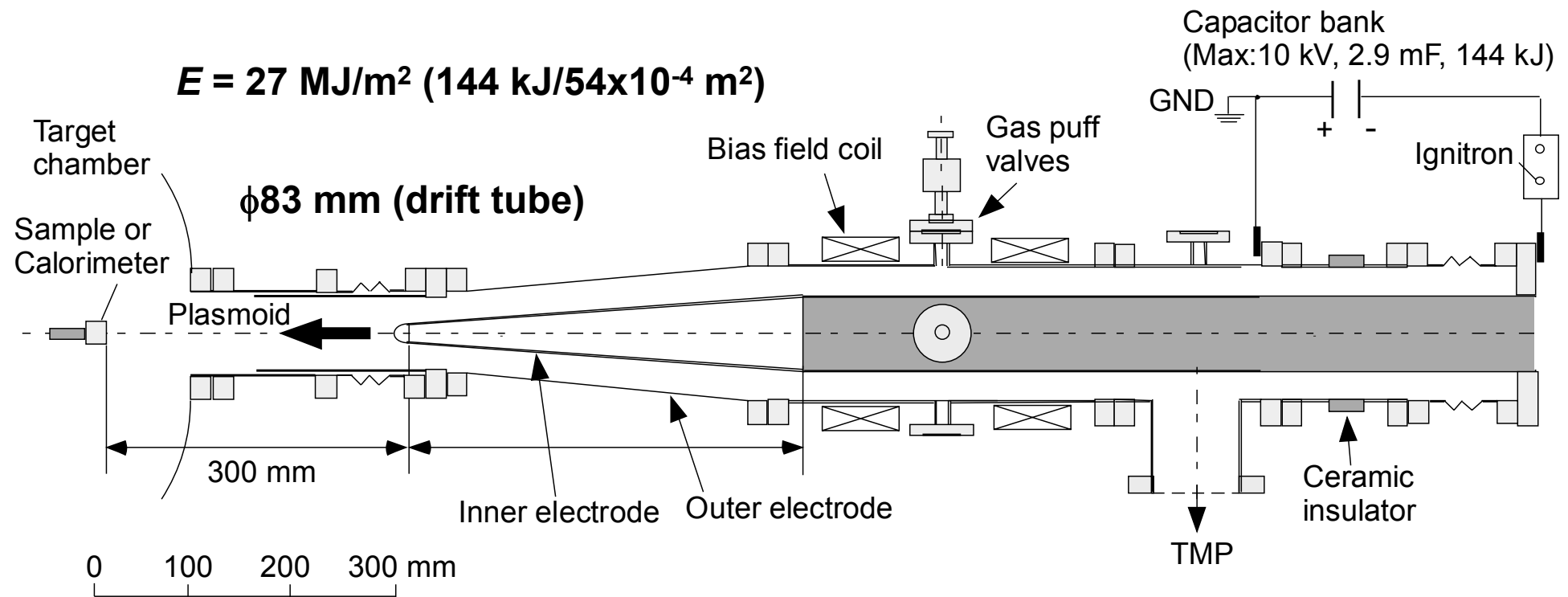
Magnetized Coaxial Plasma Gun (MCPG)



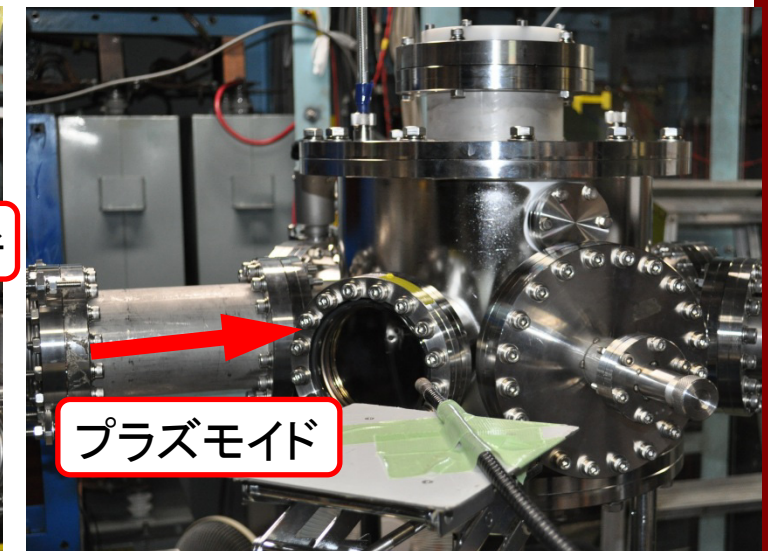
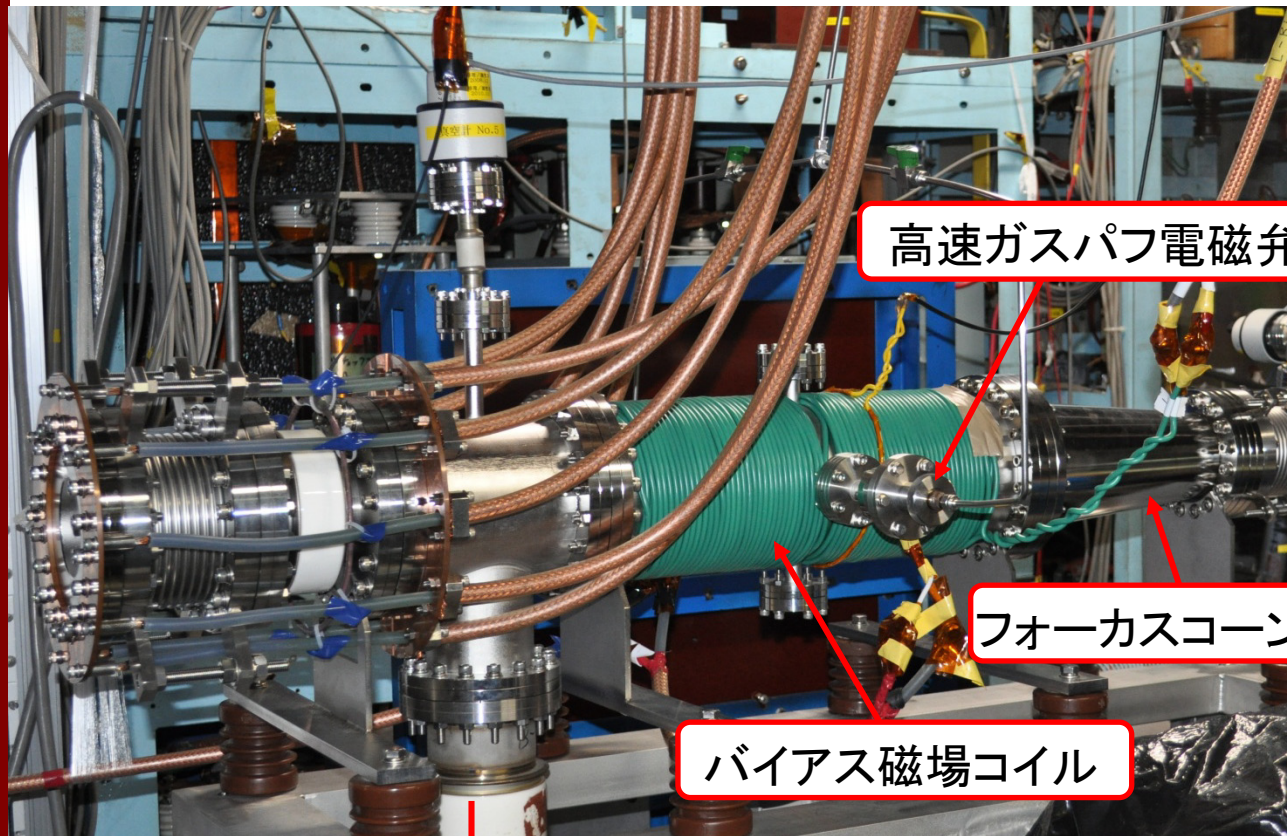
- ポロイダル電流とトロイダル電流を有するコンパクトトーラス (Compact Torus: CT) プラズマが形成される。
- 高速 (~ 300 km/s) で移送可能

磁化同軸プラズマガン@兵庫県立大学

- (1) 高密度コンデンサの使用(最大電源エネルギー: 10 kV, 2.9 mF, 144 kJ)
- (2) テーパー付きドリフト管によるプラズマの高密度化
- (3) 内部電極(SUS304)へのVPS-Wコーティング(0.2 mm)による不純物低減

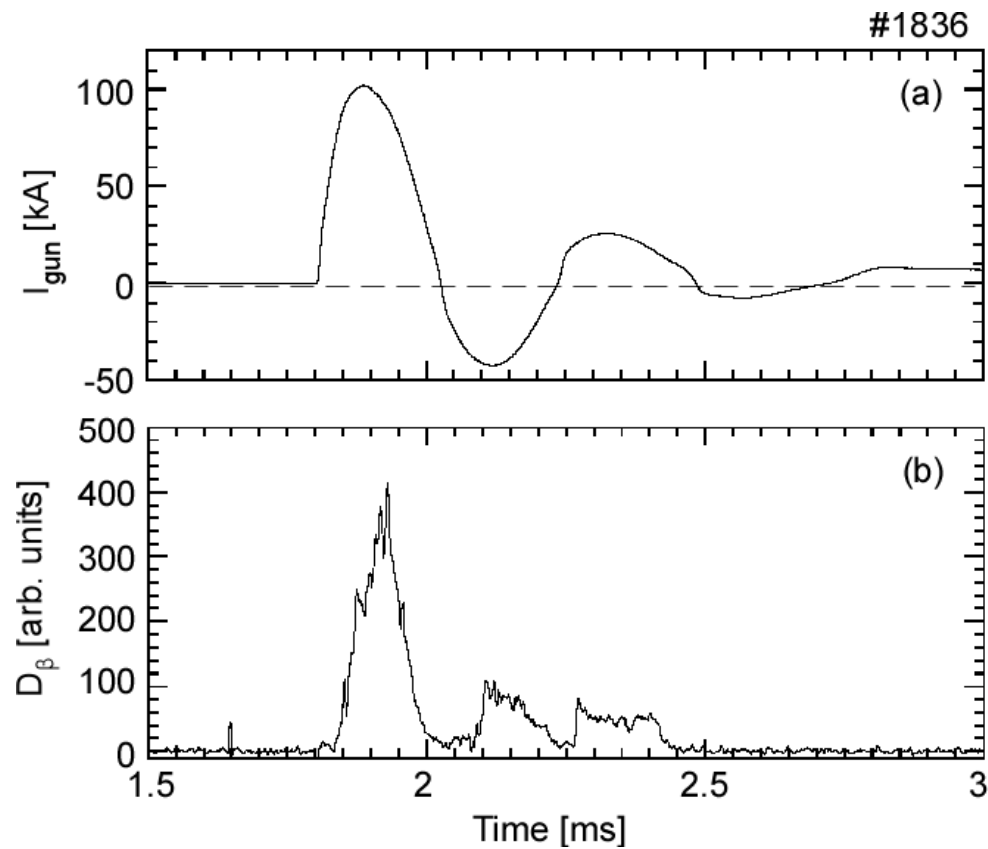


磁化同軸プラズマガン@兵庫県立大学



ターゲットチャンバー

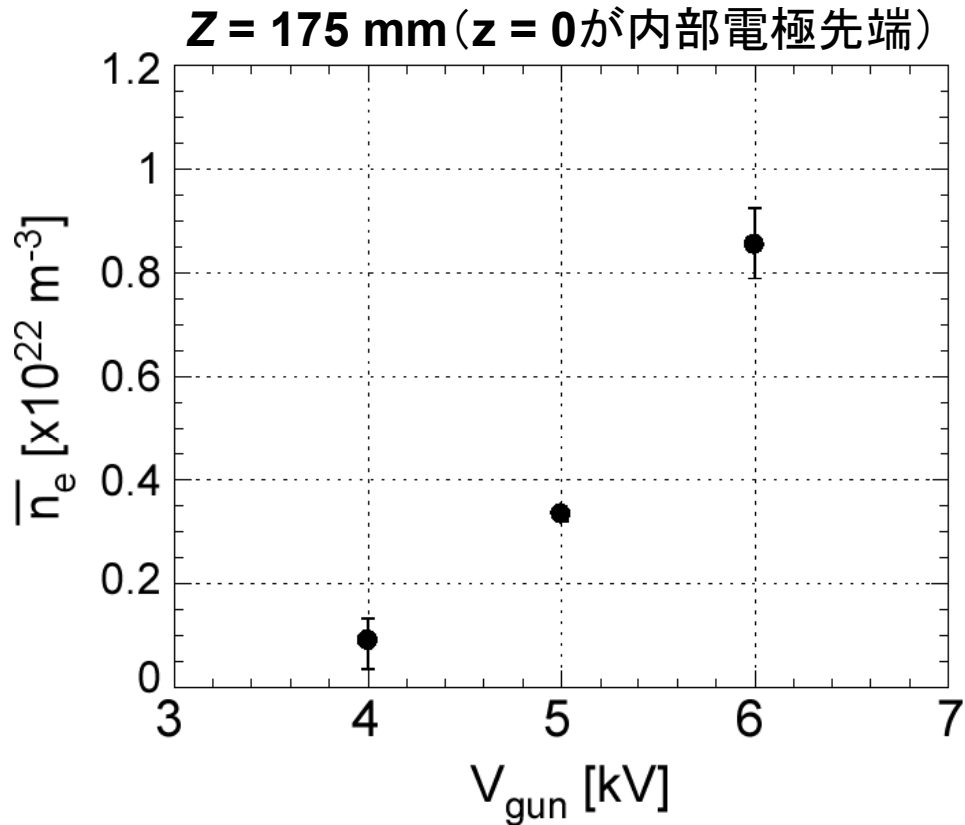
典型的な放電波形



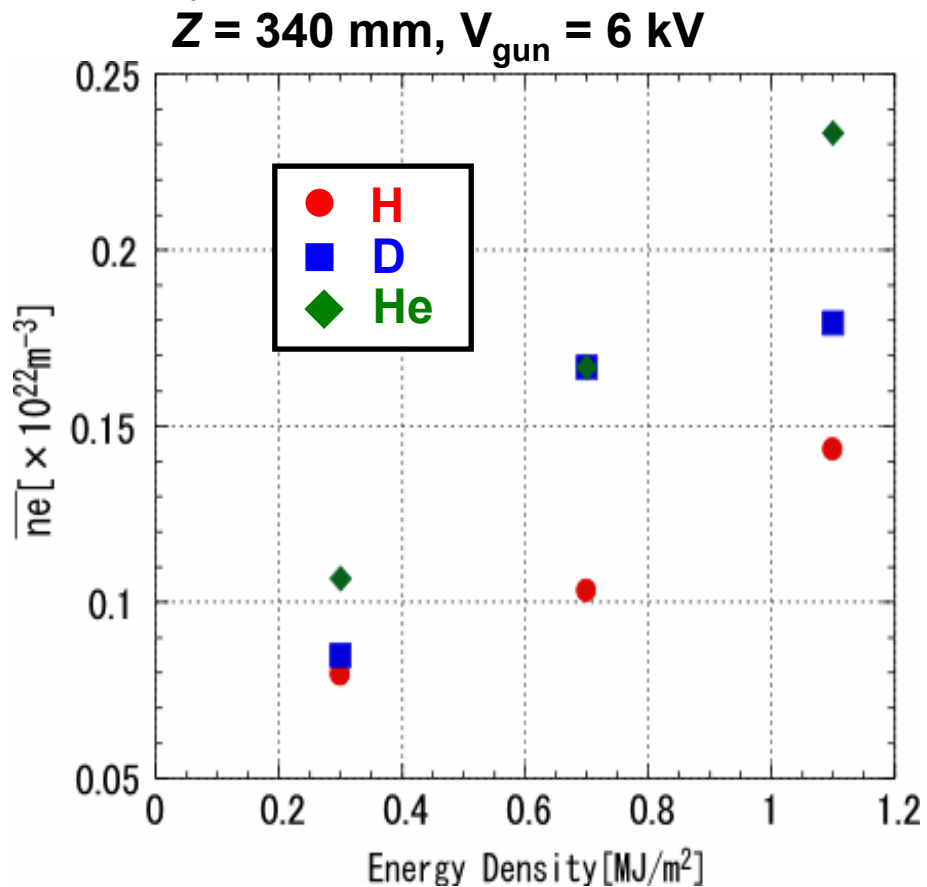
- ガン電流: ~ 100 kA
- パルス幅: $\sim 0.2\text{-}0.6$ ms
- 放電ガス: 水素、重水素、ヘリウム
- 運転周期: 10分

プラズマパラメータ計測

- ・He-Neレーザ干渉計による線平均電子密度計測
- ・材料照射位置($z = 340 \text{ mm}$)にて、線平均電子密度 $\sim 2 \times 10^{21} \text{ m}^{-3}$
- ガン電圧依存性

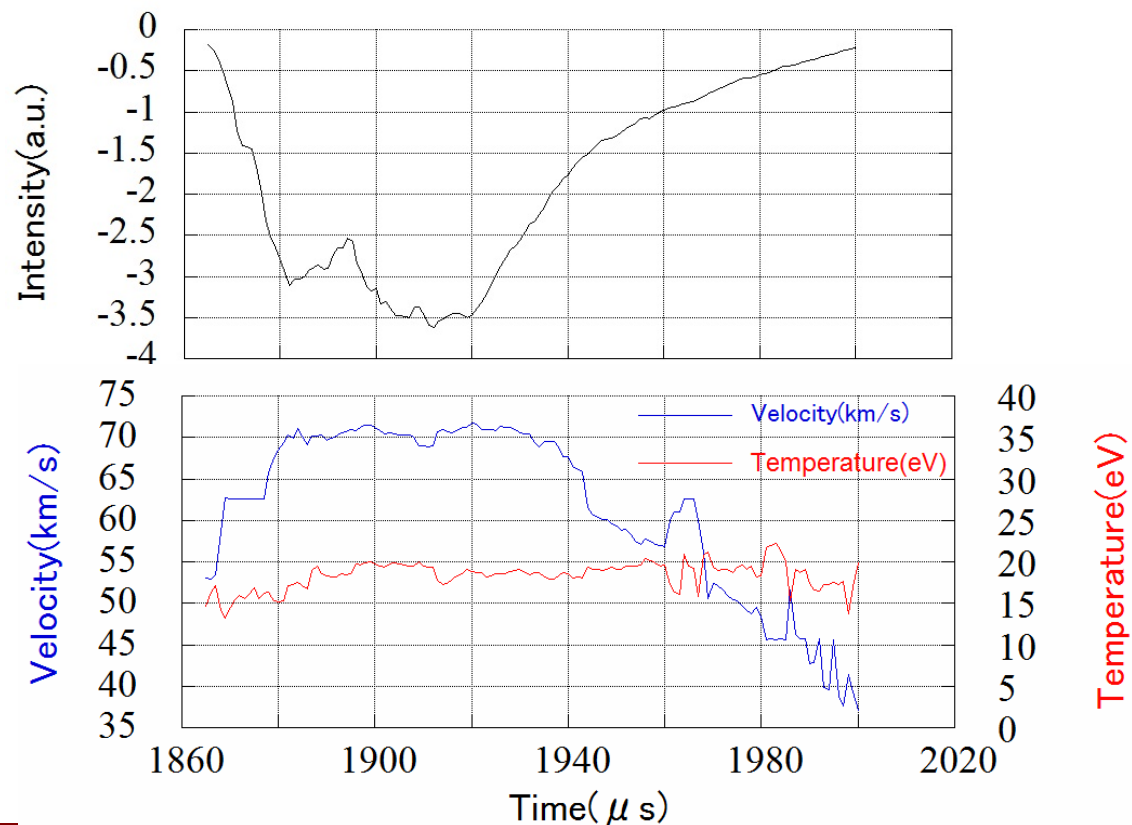
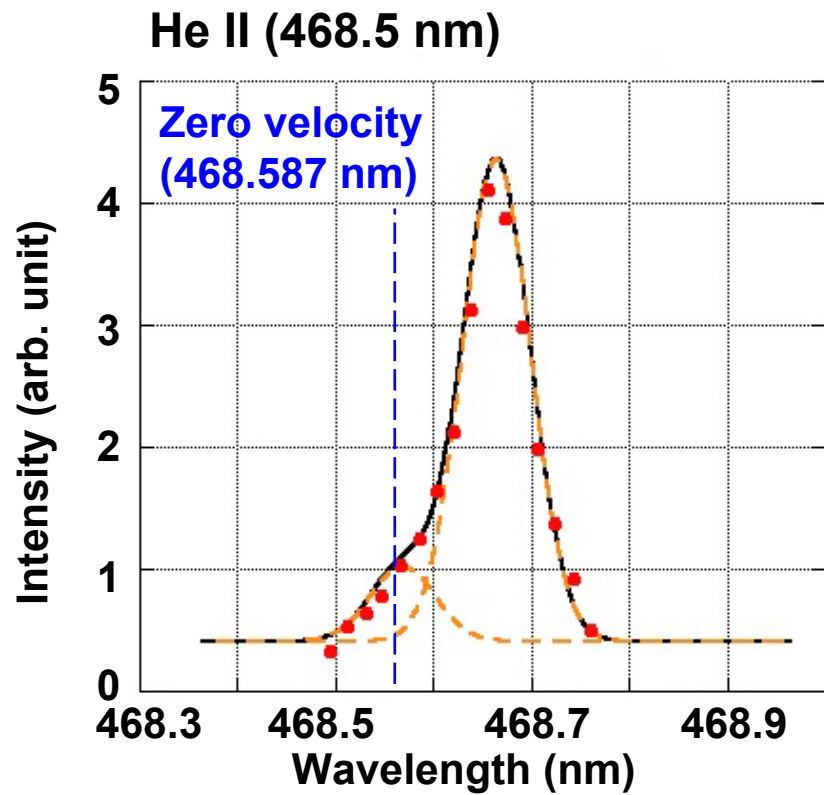


- ガス種依存性



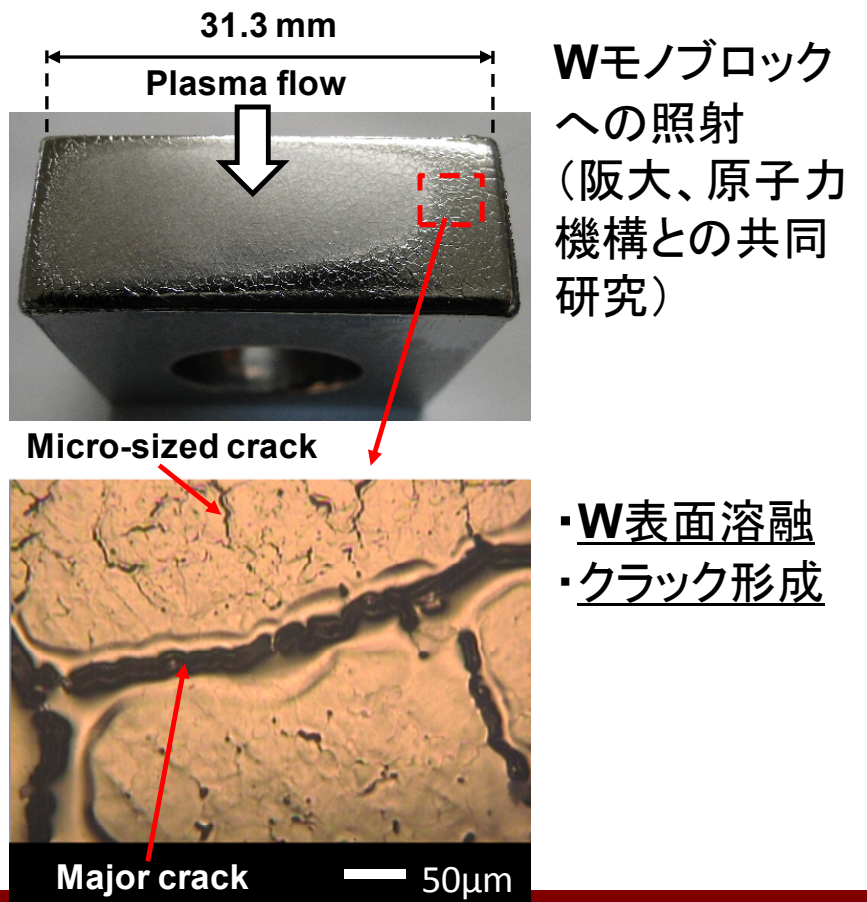
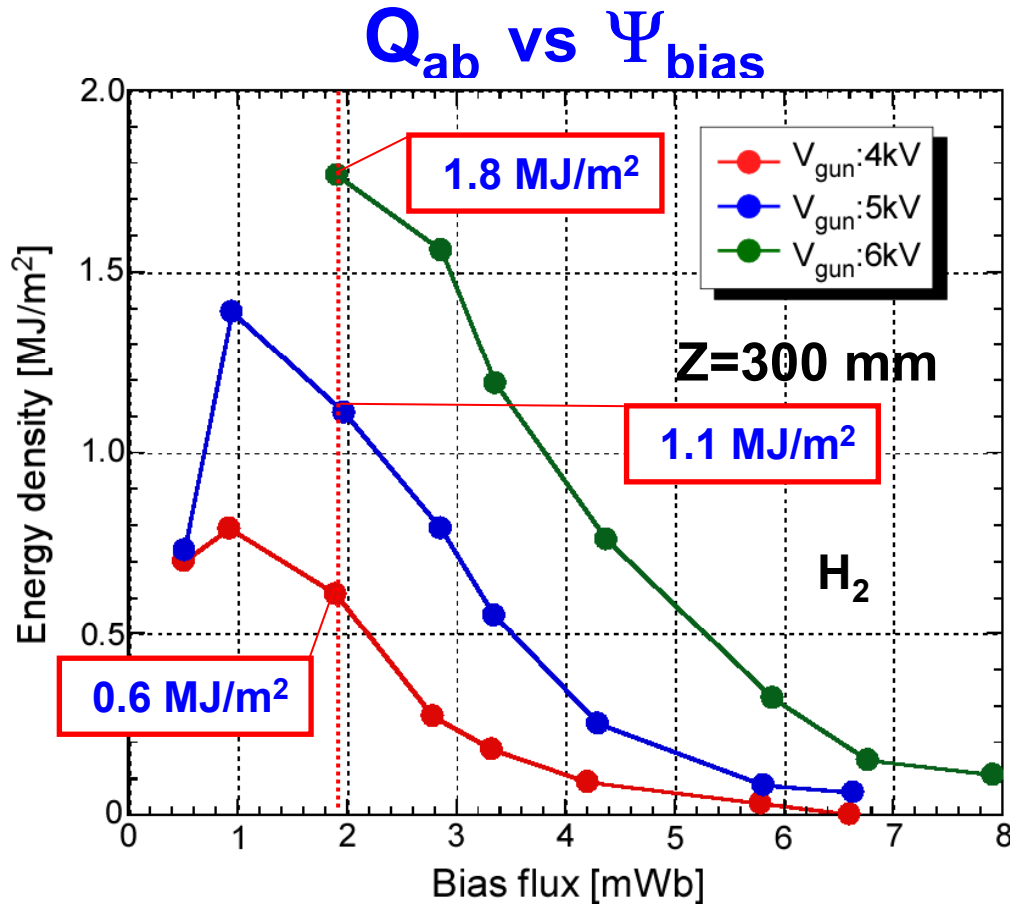
プラズマパラメータ計測

- ・イオンドップラー分光器(1 m分光器、16ch PMT出力)
- ・He II (468.5 nm)のドップラー拡がり(イオン温度)、ドップラーシフト(フロー速度)
- ・イオン温度: 20 eV、イオンフロー速度: 70 km/s ($E_i \sim 100$ eV)



エネルギー密度計測

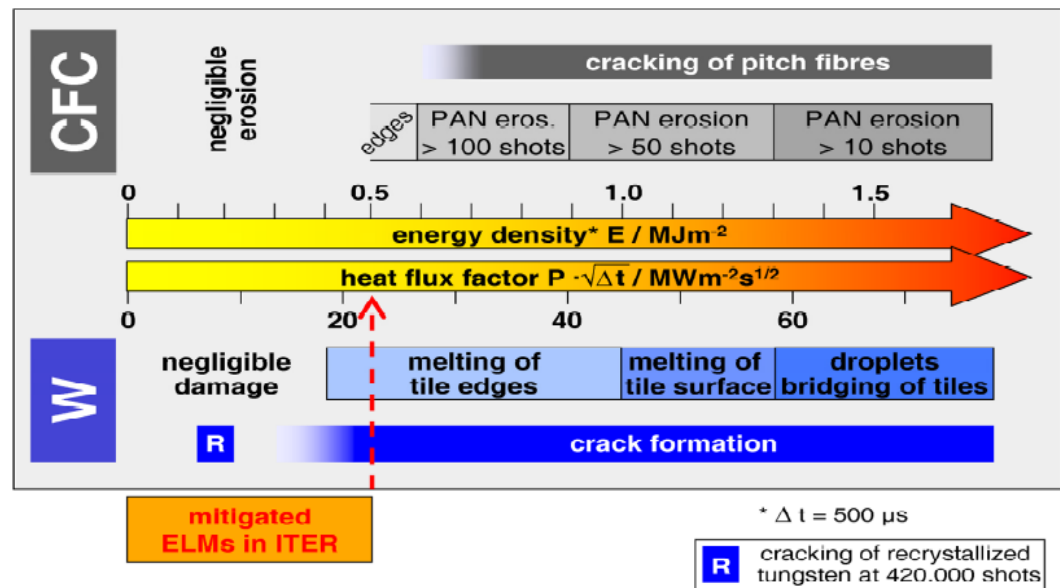
- ・カロリーメータによるエネルギー密度計測
- ・ $V_{\text{gun}} = 6 \text{ kV}$ にて~2 MJ/m²を達成
- ・バイアス磁場に対して、エネルギー密度はピーク値をとる。



プラズマパラメータ(まとめ)

エネルギー密度	$\sim 2 \text{ MJ/m}^2$
パルス幅	0.2-0.6 ms
コンデンサバンク エネルギー(最大)	144 kJ (10 kV, 2.9 mF)
フロー速度	70 km/s
イオン温度	20 eV
入射イオンエネルギー	100 eV
線平均電子密度	$2 \times 10^{21} \text{ m}^{-3}$
フラックス	$1.4 \times 10^{26} \text{ m}^{-2}\text{s}^{-1}$
フルーエンス	$\sim 3 \times 10^{22} \text{ m}^{-2}$

※Heプラズマの場合



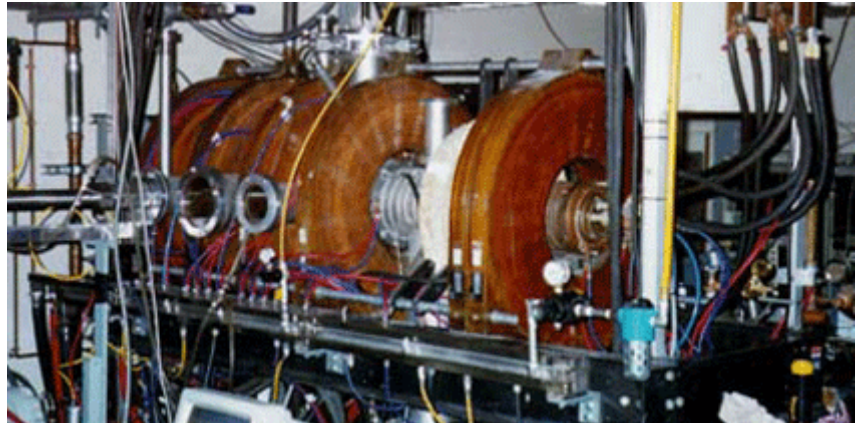
- ITERのtype I ELMで想定されているエネルギー密度のパルスプラズマの生成
- W表面溶融

W-Fuzzに対するパルスプラズマ照射

UCSD(Dr. D. Nishijima, Dr. R. Doerner)との共同研究

PISCES-A(UCSD)により定常D, Heプラズマ照射をしたITER-grade Wを兵庫県立大学に持ち込み、プラズマガン装置によりELM様パルスプラズマを照射した。

PISCES-A @ UCSD



プラズマガン装置@兵庫県立大学



D blisters He-induced Fuzz

ITER-grade W, 直径: 25.4 mm、厚さ: 1.5 mm

W-Fuzzに対するパルスプラズマ照射

- ・定常Heプラズマ照射によりFuzzが形成されたWサンプル
- ・Heパルスプラズマ(**0.3, 0.7, 1.1 MJ/m²**)を1ショット照射
- ・0.3 MJ/m²ではサンプル表面にほぼ変化なし
- ・0.7 MJ/m²では表面が灰色になり、アーク痕を確認
(Dブリストーサンプルではアーク痕は確認されない)



0.3 MJ/m²



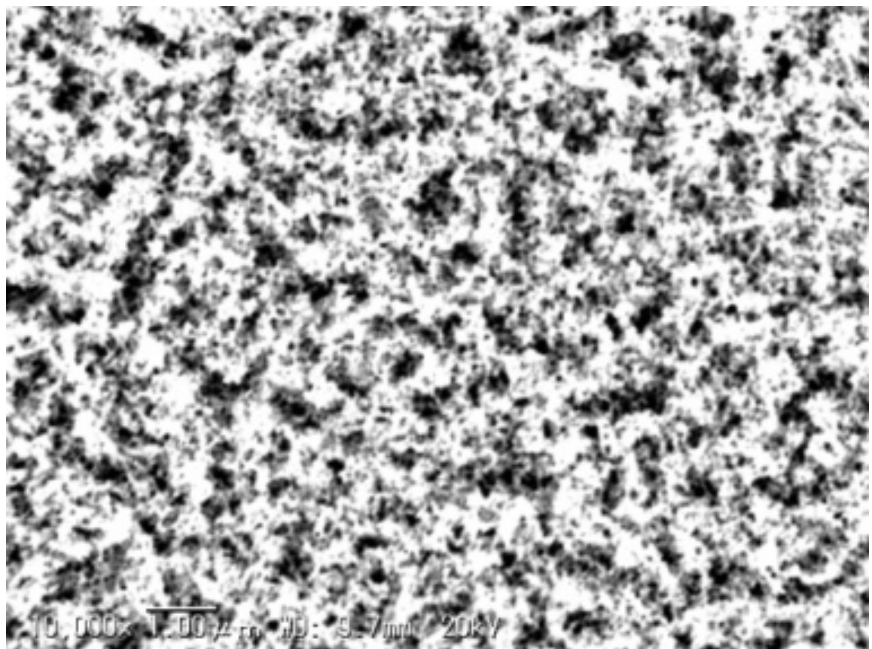
0.7 MJ/m²



1.1 MJ/m²

W-Fuzzに対するパルスプラズマ照射

パルスプラズマ照射前

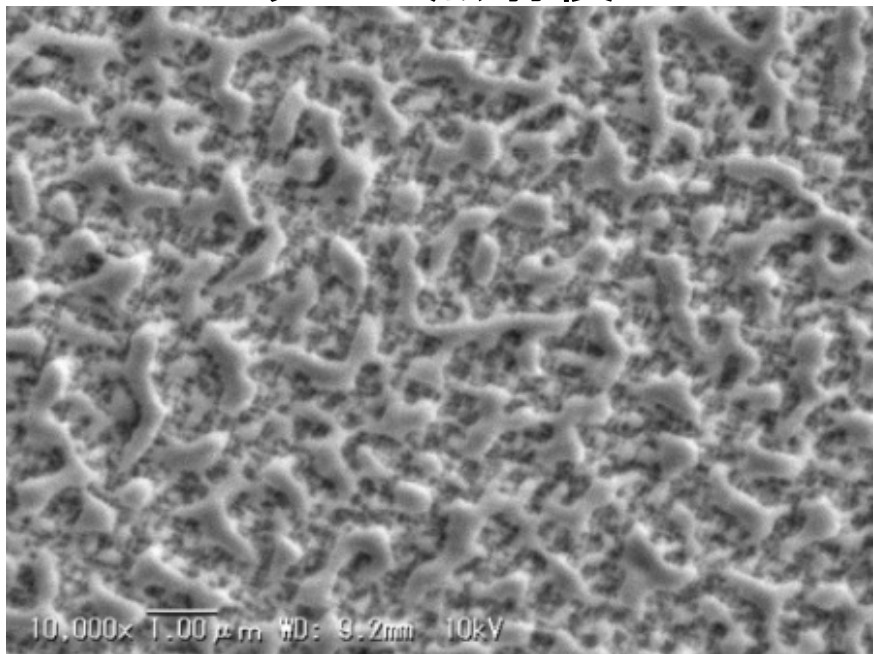


— 1 μm



W-Fuzz: 黒色

パルスプラズマ照射後



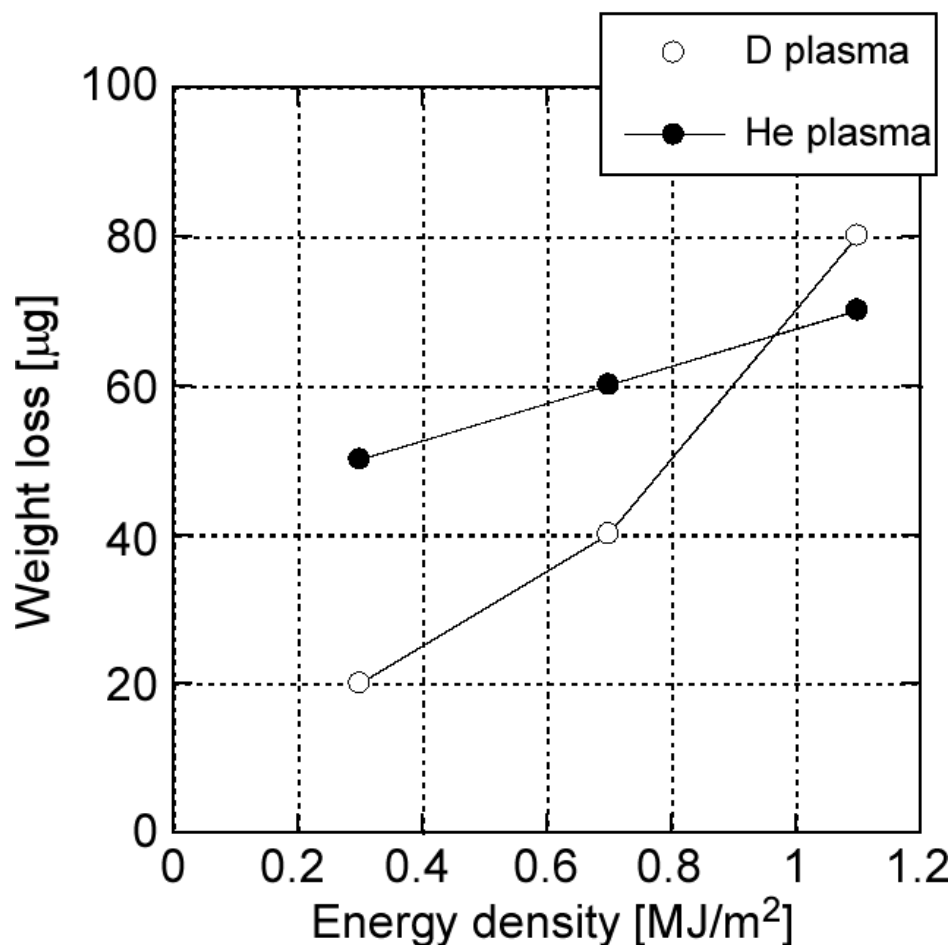
— 1 μm



W-Fuzz: 黒色→灰色、白色
(Fuzzが溶融し、表面が
スムースになるため)

W-Fuzzに対するパルスプラズマ照射

パルスプラズマ照射(1shot)による
W-Fuzzの質量損失



1shotで最大80 μgの質量損失が発生



W-Fuzz(厚さ: 2 μm)の14%に対応

※Dブリスター sample では
質量損失無し



溶融層の放出やアーキングによる
質量損失

W合金材、W被覆材に対する照射

(1) ITER-grade W

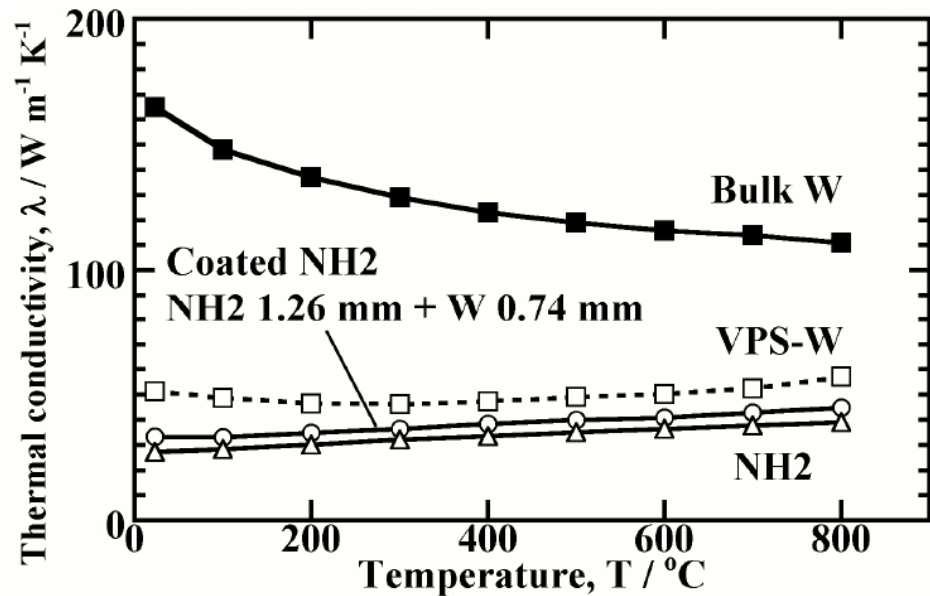
大阪大学(上田教授)との共同研究

(2) W-Ta(2wt%)合金

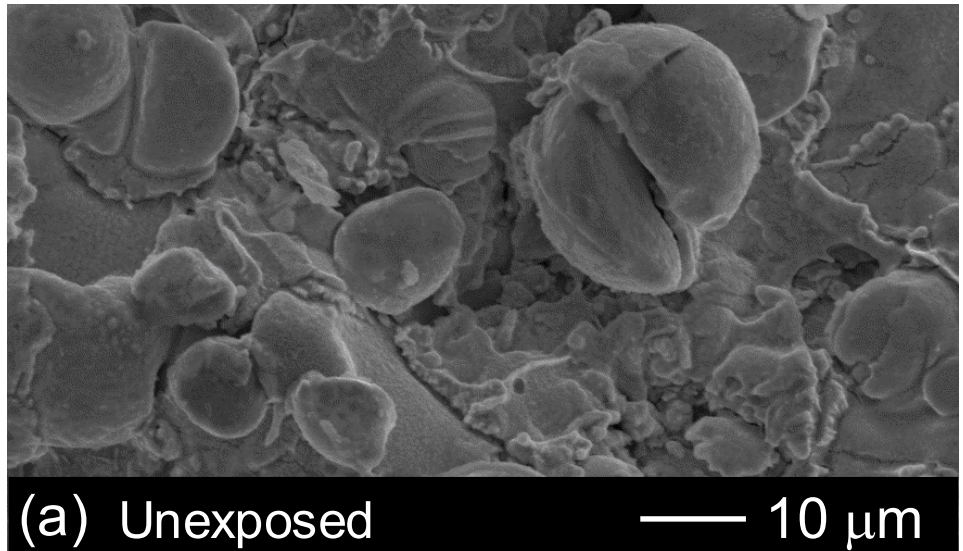
- クラック形成の抑制が期待される。

(3) VPS W被覆低放射化フェライト鋼

- F82H: Fe-8Cr-2W-0.1C
- 热伝導率がバルクWの30 %程度



VPS-W被覆F82H



W被覆厚: 0.6 mm

W粒子: >10 μm

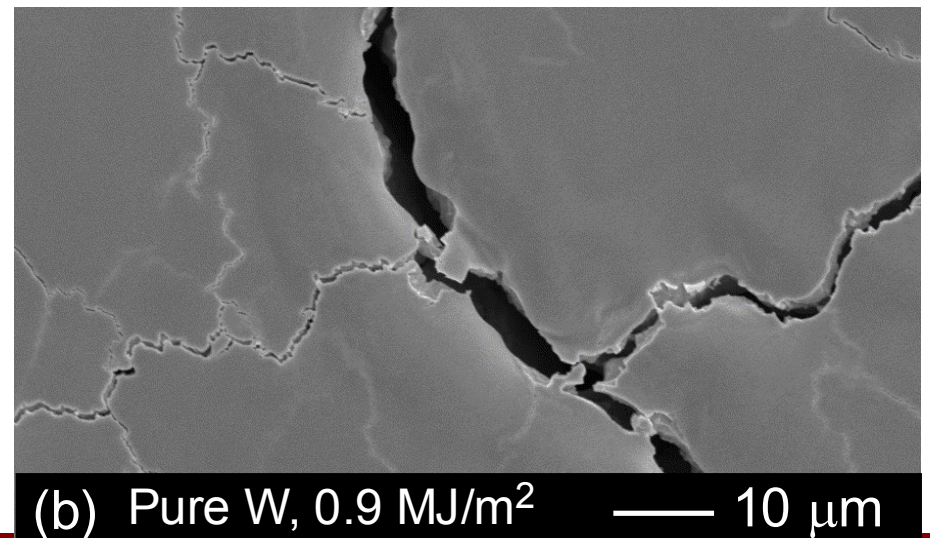
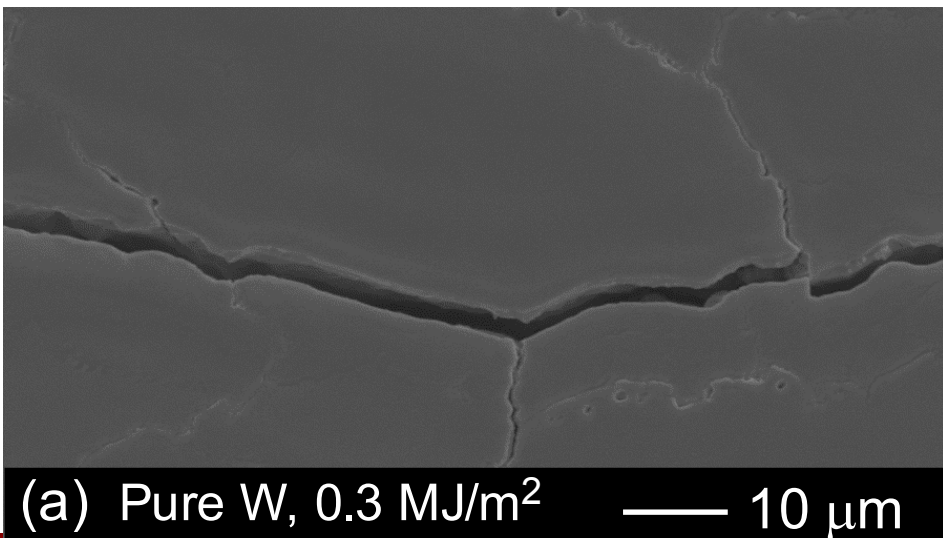
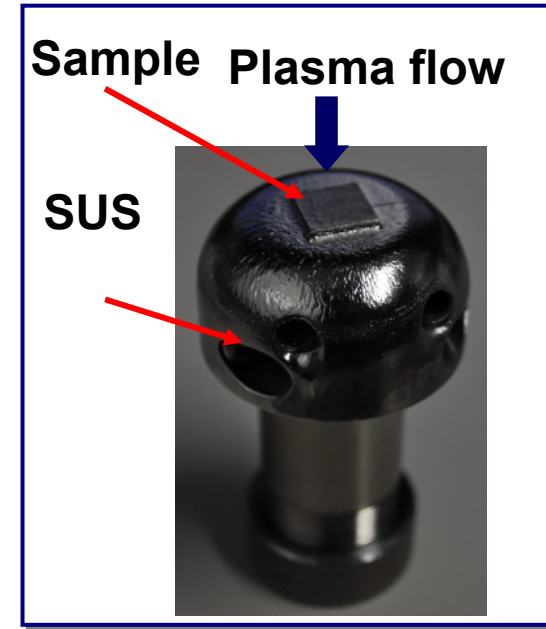
Ref.: T. Nagasaka et al., Fus. Sci. Tech. (2009)

W合金材、W被覆材に対する照射

(1) ITER-grade W (pure W)

10 plasma pulses of ~0.3 and 0.9 MJ/m²

- サイズ: 10 mm x 10 mm x 1 mm
- 鏡面研磨
- サンプルベース温度: 室温
- 表面クラックの形成 (~0.3 MJ/m²)
- クラック幅: ~ 5 μm



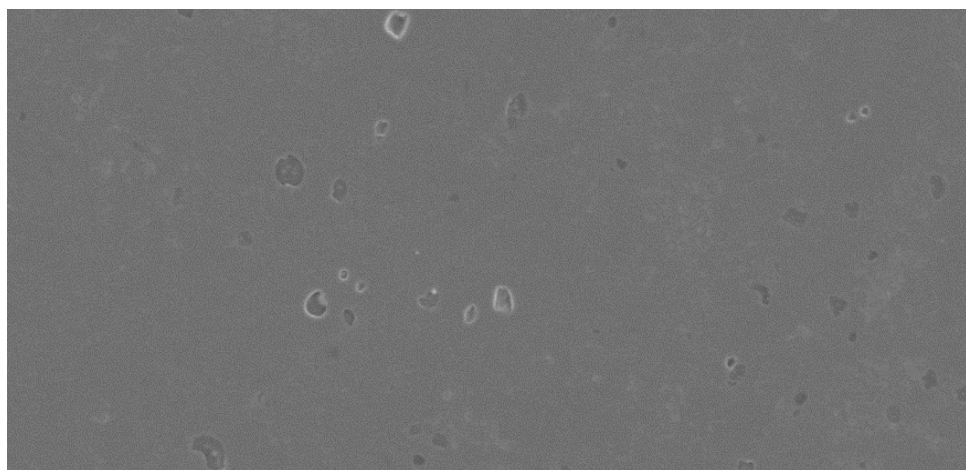
W合金材、W被覆材に対する照射

(2) W-Ta(2wt%)合金材

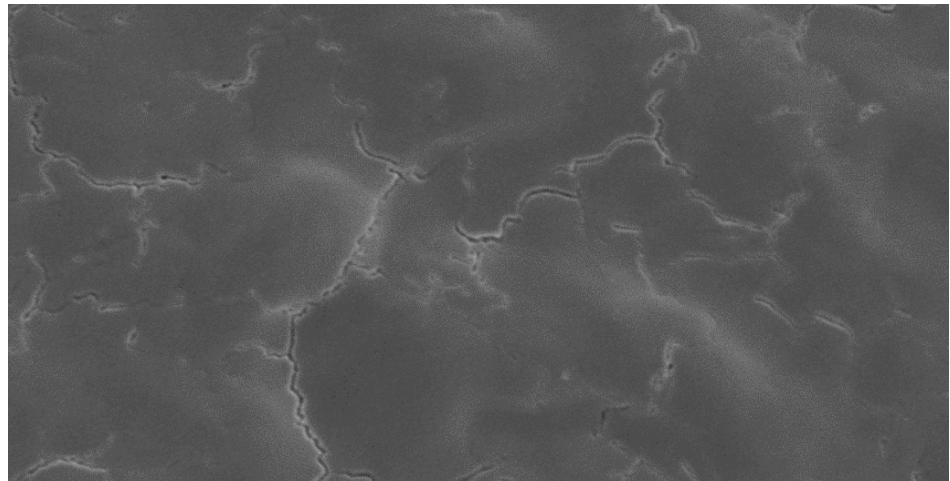
10 plasma pulses of ~0.3 and 0.9 MJ/m²

- サイズ: 10 mm x 10 mm x 1 mm
- 鏡面研磨
- サンプルベース温度: 室温
- 表面クラック: 形成されない (~0.3 MJ/m²)
- 表面クラック幅 (~0.9 MJ/m²) < 1 μm

→ 表面クラック形成の抑制(エネルギー密度閾値の上昇)



(a) W-Ta, 0.3 MJ/m² — 10 μm



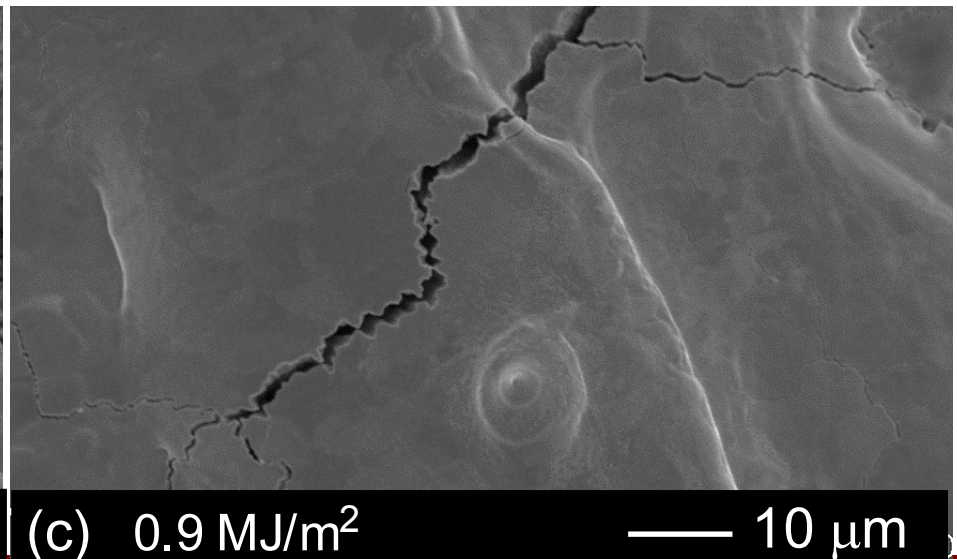
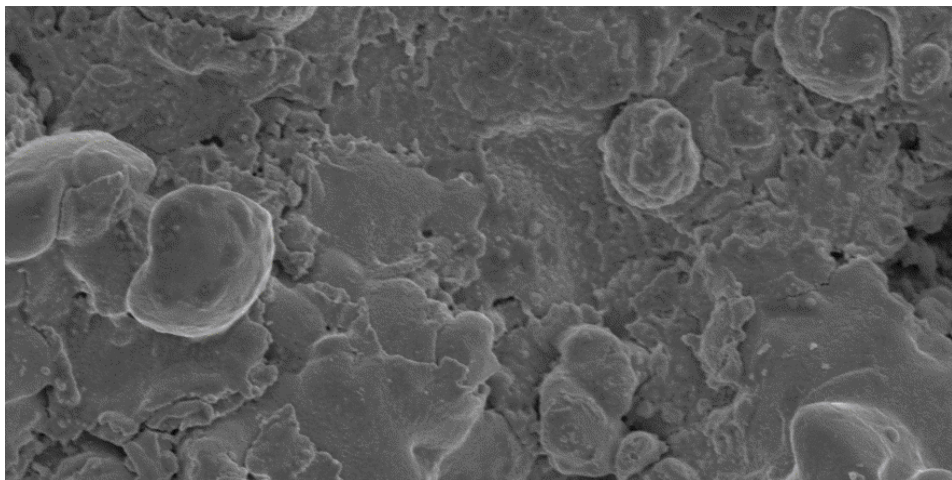
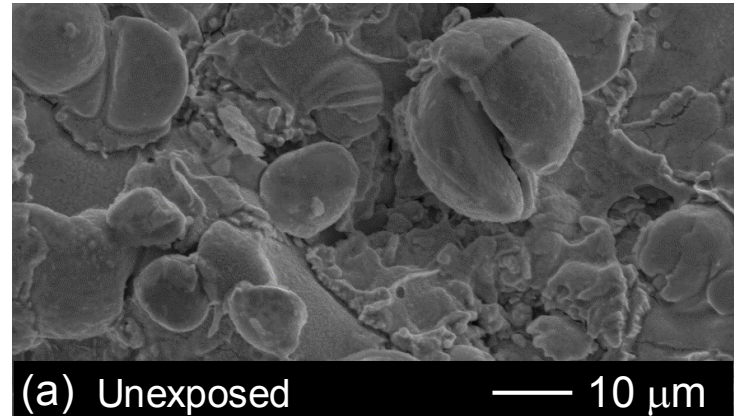
(b) W-Ta, 0.9 MJ/m² — 10 μm

W合金材、W被覆材に対する照射

(3) VPS-W(低放射化材料F82H基板)

10 plasma pulses of ~0.3 and 0.9 MJ/m²

- サイズ: 10 mm x 10 mm x 1 mm
 - 鏡面研磨なし
 - サンプルベース温度: 室温
 - 表面形状の変化なし (~0.3 MJ/m²)
 - 表面溶融と再凝固層でのクラック形成 (~0.9 MJ/m²)
- 热伝導率がバルクWに対して低いため、表面温度上昇が大きいと考えられる。



まとめ

磁化プラズマガン装置を開発し、エネルギー密度~2 MJ/m²
(パルス幅0.2~0.6 ms)のパルスプラズマを生成、材料照射した。

(1) 定常プラズマ予照射Wに対する照射

	Fuzz W	DブリスターW
質量損失	~ 14% lost	無し
クラック	無し	有り
アーク発生	有り	無し

(2) W合金、W被覆材に対する照射

	ITER-grade W	W-Ta(2wt%)
クラック形成 閾値(10ショット)	< 0.3 MJ/m ²	~ 0.7 MJ/m ²

VPS-W
~0.9 MJ/m ² にて表面溶融、再凝固時にクラック形成 W被覆の基板からの剥離は確認されない。

今後の研究計画

ダブルプラズマガン装置@兵庫県立大学

Vapor shield効果を検証する実験

